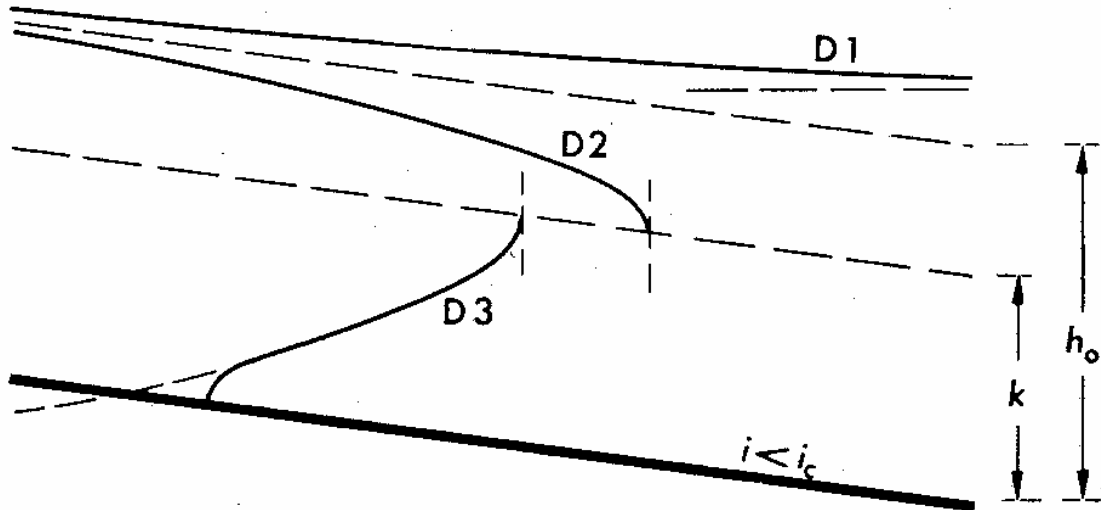
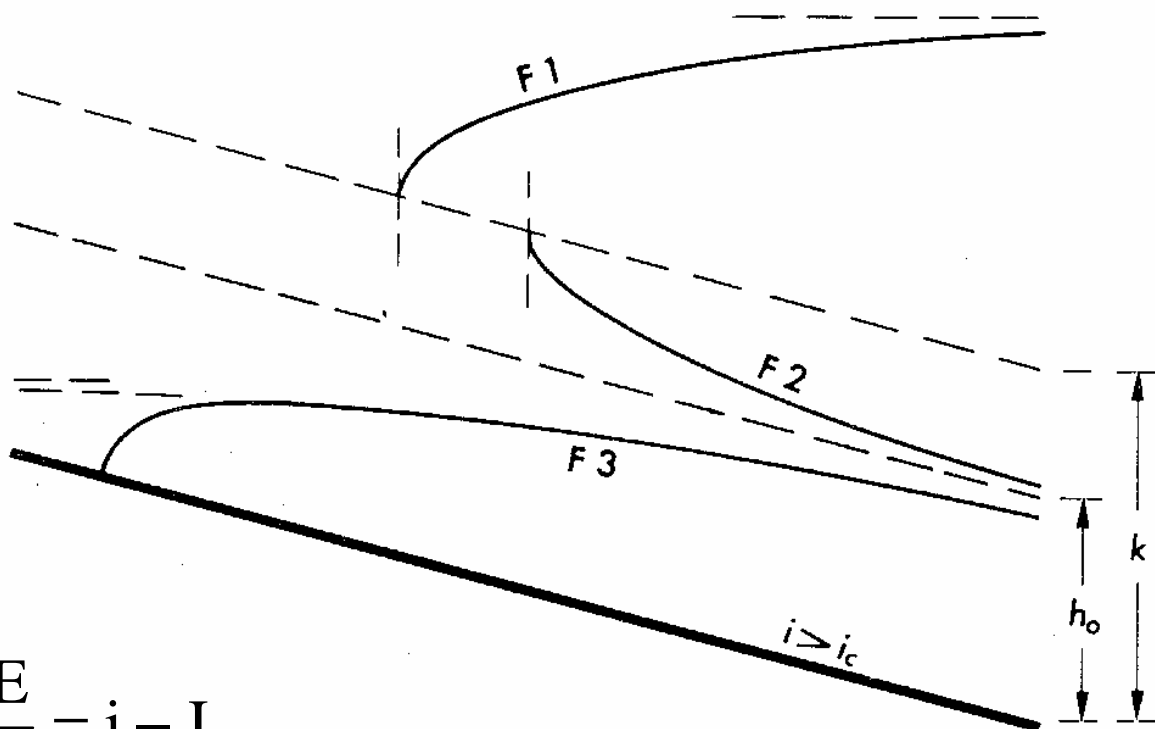


Profili di moto permanente

in alveo a debole pendenza (pendenza $i < i_c$ pendenza critica)

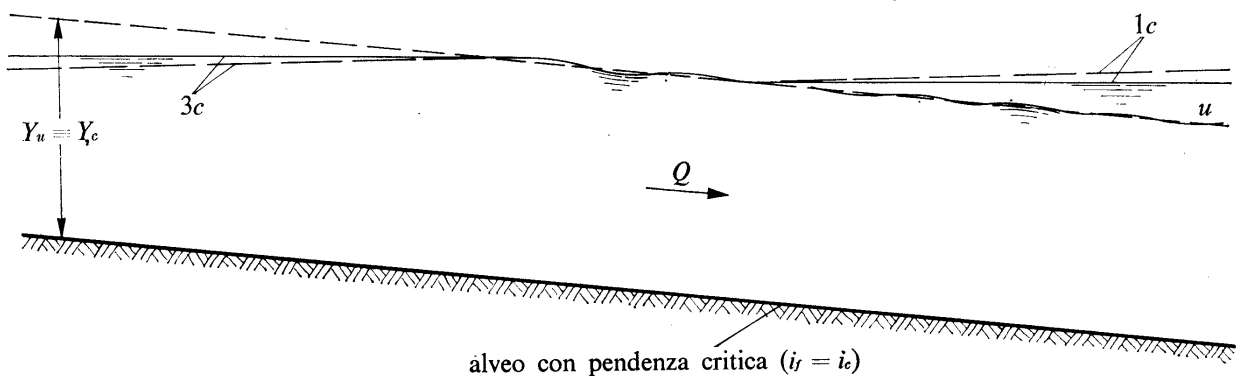


in alveo a forte pendenza (pendenza $i > i_c$ pendenza critica)

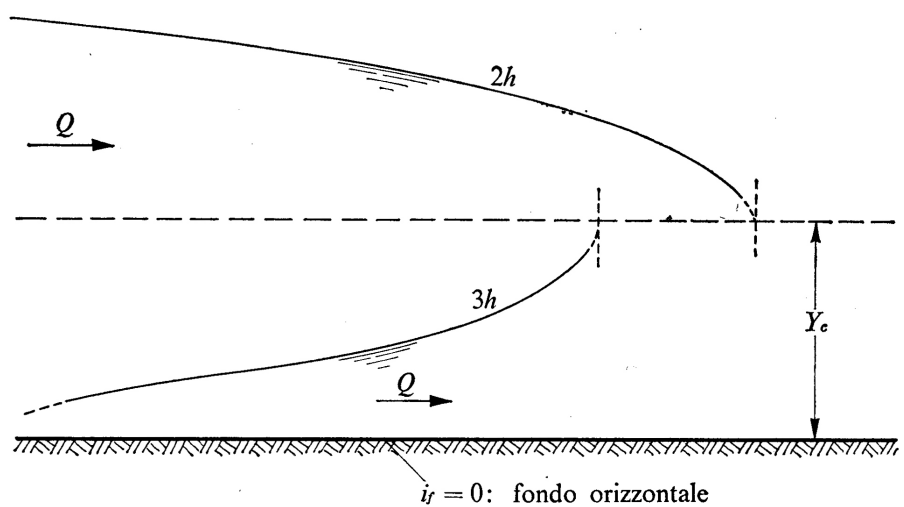


$$\frac{dE}{ds} = i - J$$

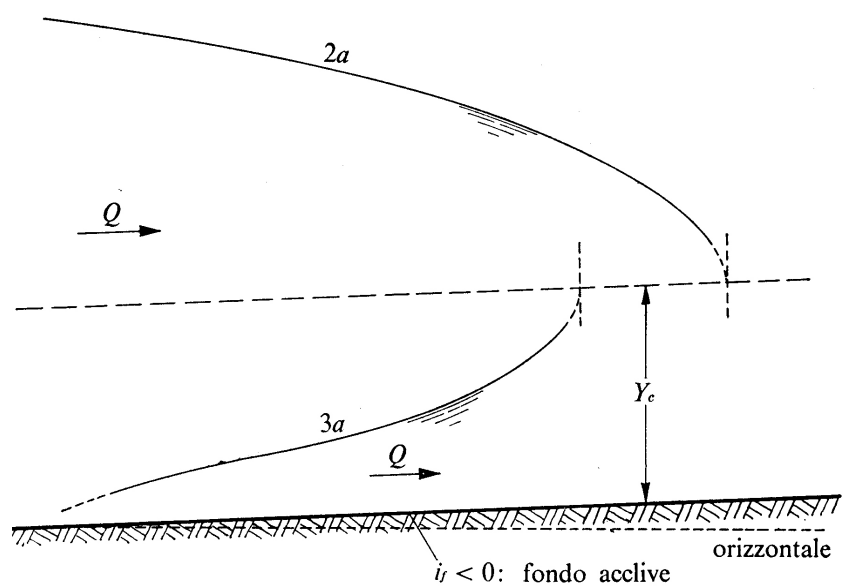
$$\frac{dh}{ds} \cdot \left(1 - \frac{\alpha \cdot Q^2}{g \cdot A^3} \cdot B \right) - \frac{\alpha \cdot Q^2}{g \cdot A^3} \cdot \frac{\partial A}{\partial s} = i - J$$



Profili di correnti in alveo a pendenza critica per la portata data (a linea intera con $C = \text{cost}$).

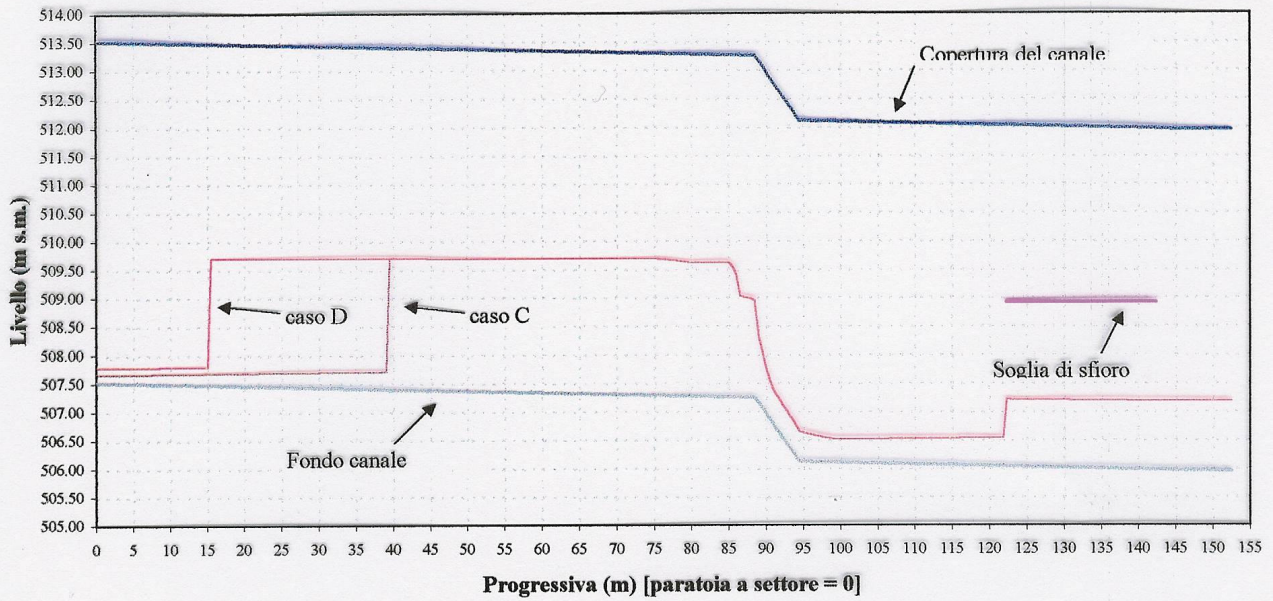


Profili di corrente in alveo orizzontale.

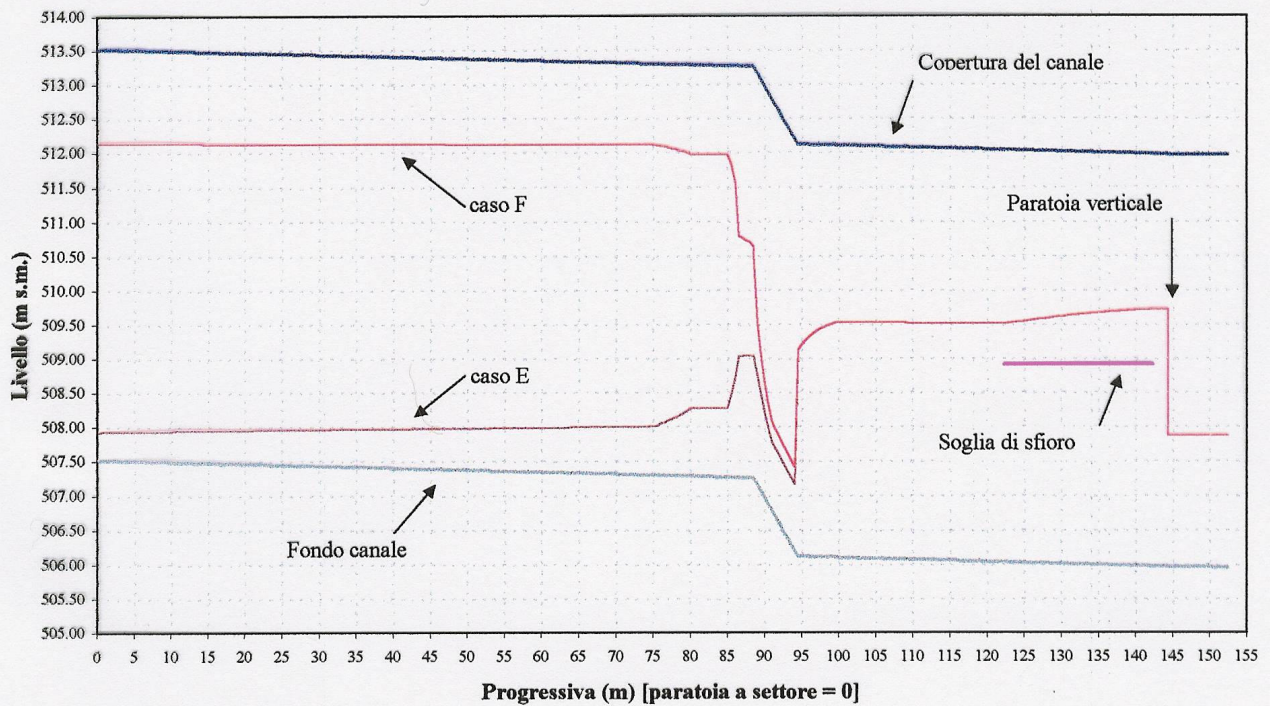


Profili di corrente in alveo acclive.

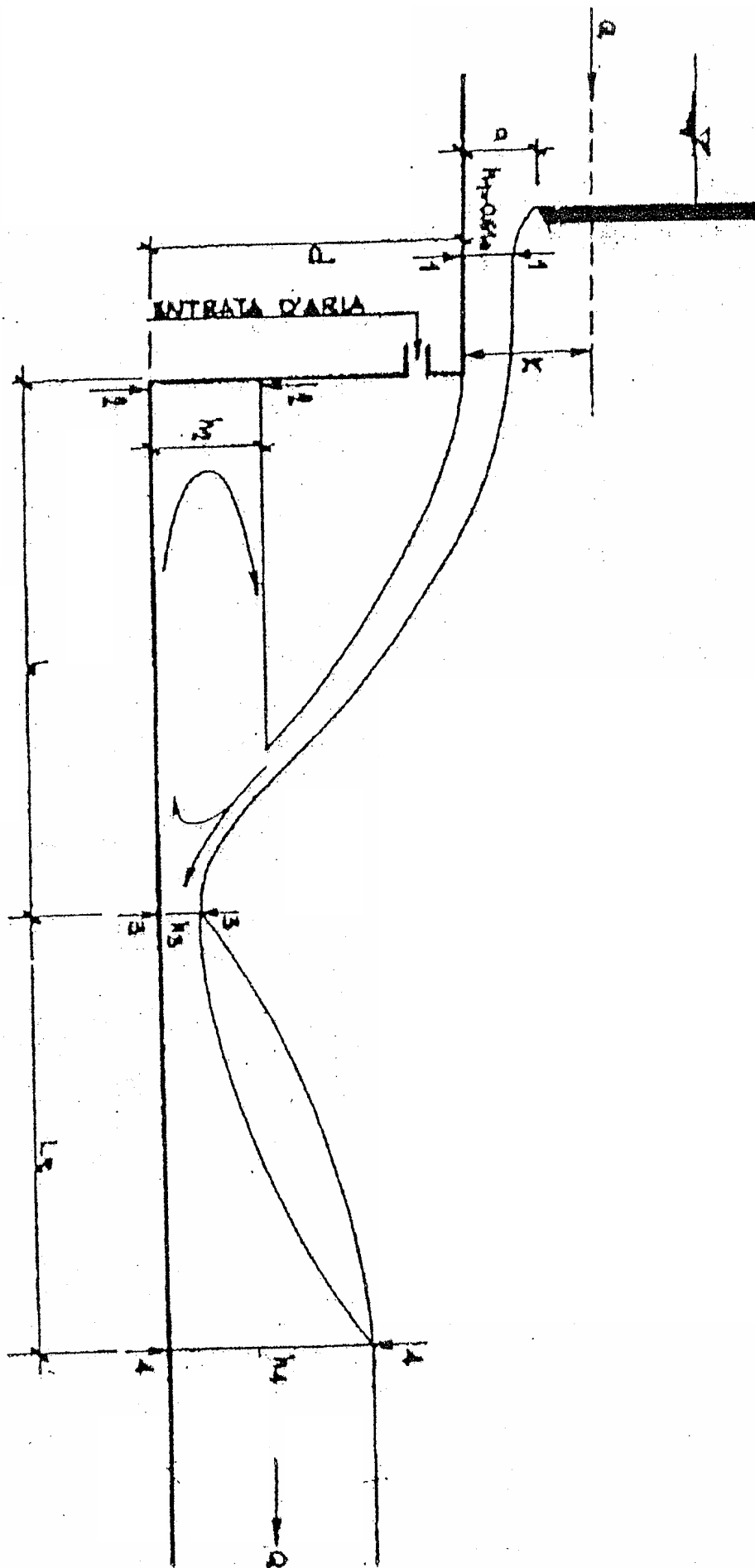
Canale di demodulazione - casi C e D ($Q = 12 \text{ m}^3/\text{s}$)



Canale di demodulazione - casi E e F ($Q = 34 \text{ m}^3/\text{s}$)



salto di fondo (corrente veloce in arrivo)





Cantiere della Val Clarea: nuovo inalveamento Rio Clarea visto da monte.



Cantiere della Val Clarea: nuovo inalveamento Rio Clarea visto da valle.